

神戸大学工学部

正会員 神田 徹, 宮本 仁志

神戸大学都市安全研究センター

正会員 藤田 一郎

神戸大学工学部

学生員○兵頭 伸幸

1. まえがき

筆者らは、自然河川に見られる多様な流況を河川整備に導入するため、水路床に凹部を設けた開水路流れを対象として、主に凹部形状と流況特性の関係を検討してきた¹⁾。本稿では、凹部形状比を一定にして、水理条件（レイノルズ数、フルード数）が凹部における平均流速、乱流諸量など流れの構造に及ぼす影響を、PIVを用いた画像計測法により調べた。

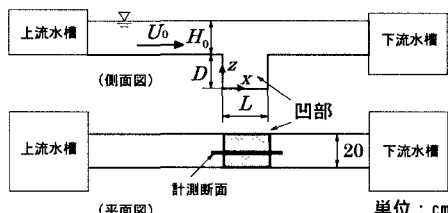


図-1 実験水路の概要

2. 実験の概要および計測法

図-1に実験水路の概要および実験条件をそれぞれ示す。レイノルズ数およびフルード数の変化が流況に及ぼす影響を調べるために、凹部形状比を一定とし（ $L/D = 4.0$ ）、2種類の実験を行なった。①実験A：フルード数をほぼ一定とし、レイノルズ数を変化させる。②実験B：レイノルズ数をほぼ一定とし、フルード数を変化させる。

流れ場の計測にはPIVを用いた。流水中に比重が約1.02、粒径0.075~0.150mmの高分子ポリマー粒子を投入し、計測対象断面をスリット状のアルゴンイオンレーザーで可視化する。この断面をサンプリング周波数120Hzのハイスピードカメラで撮影し、720×480画素、輝度256階調のバイナリーデータとして保存する。

3. 実験結果

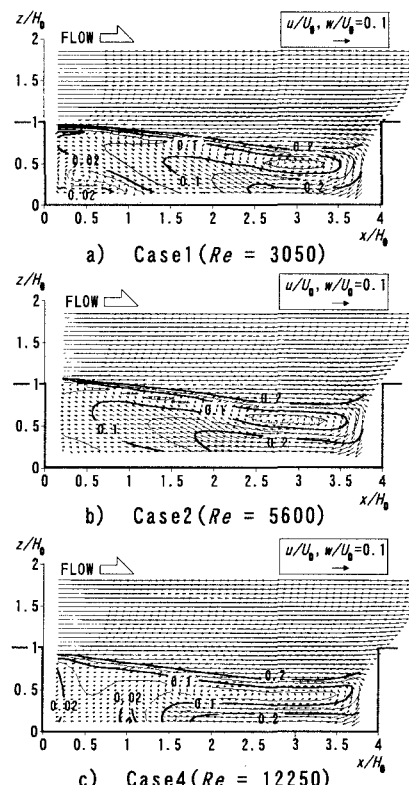
3-1 レイノルズ数の変化の影響（実験A）

図-2に各レイノルズ数 Re における平均流速ベクトルとその絶対値の等価線を示す。Case1では、凹部内に大スケールの循環流（下流側）と、小さな循環流（上流側）の二つの循環流が形成される。Case2では、下流側循環流のスケールが大きくなつて凹部内全体で循

表-1 実験条件

実験	Case	D (cm)	Q (cm^3/s)	H_0 (cm)	L (cm)	U_0 (cm/s)	Re	Fr
A	1	2.0	610	2.0	8.0	15.3	3050	0.34
	2	3.0	1120	3.0	12.0	18.7	5600	0.34
	3	4.5	2080	4.5	18.0	23.1	10400	0.35
	4	5.0	2450	5.0	20.0	24.5	12250	0.35
B	1	5.0	1540	5.0	20.0	15.4	7700	0.22
	2	3.5	1550	3.5	14.0	22.1	7750	0.38

Q : 流量, H_0 : 流入水深, U_0 : 流入部での断面平均流速,
 Re : レイノルズ数($= U_0 H_0 / \nu$), Fr : フルード数($= U_0 / (g H_0)^{1/2}$),
 D : 凹部水深, L : 凹部長さ, L/D : 凹部形状比 ($= 4.0$)

図-2 平均流速ベクトルと
その絶対値の等価線(実験A)

環するようになり、上流側循環流がなくなる。レイノルズ数が最も大きい Case4 では、上流側がほぼ死水域となり、下流側循環流のスケールが再び小さくなる。

図-3 に $x/H_0 = 1.0, 2.0, 3.0$ における x 方向乱れ強度 u'/U_0 の鉛直分布を示す。Case1 では、乱れ強度のピークが確認でき、下流断面ほどピークは低下する。これは、上述のように凹部上流側に小さな循環流が形成され、他のケースに比べ上流のせん断強さが大きくなるためと考えられる。他のケースでは、各点でほぼ同様の分布を示している。

3-2 フルード数の変化の影響（実験 B）

図-4 に瞬間流速ベクトル図を示す。Case1 では、凹部上流端の主流 - 凹部境界面で発生した乱れが、流下に伴い凹部内で発達するが、Case2 では、同様の傾向は確認できない。これは、Case2 では他のケースと比べて大きな水面変動が発生しているので、その変動が凹部の乱流構造も変化させていると考えられる。その水面変動は、凹部上流端および下流端で節となり、凹部中央で腹となる変動で、周期は約 0.7Hz、波長は約 28cm、振幅は約 2~3mm であった。

図-5 に主流 - 凹部境界面付近での x 方向乱れ強度の水平分布を示す。Case1 では、凹部上流端で発生した乱れが流下方向に増加する。Case2 では、乱れ強度は凹部上流側で最大となり、 $x/H_0 = 1.5$ より下流側での変化は少ないが、その値は大きくなっている。これは、上述のような水面変動の影響によるものと考えられる。

4. あとがき

凹部形状比が一定の開水路凹部流れを対象に、水理条件の変化が凹部の平均流速、乱れ強度に及ぼす影響を実験的に調べた。今後は、主流 - 凹部境界面に形成される大規模渦について、水理条件、凹部形状などの影響を検討する。

〈参考文献〉 1) 宮本仁志、神田 徹、藤田一郎、池上 迅：PIVによる開水路凹部流れの計測および数値解析、水工学論文集、第41巻、pp.1049-1054、1997.

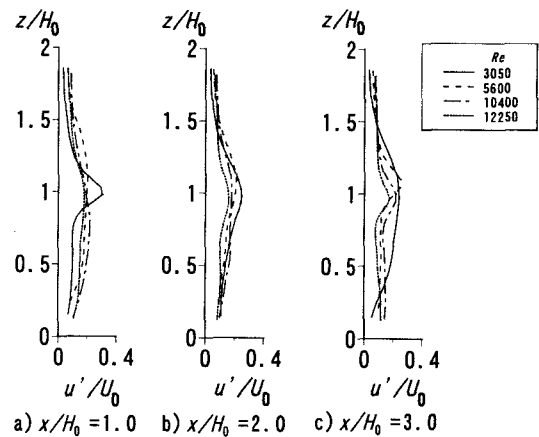


図-3 x 方向乱れ強度の鉛直分布（実験 A）

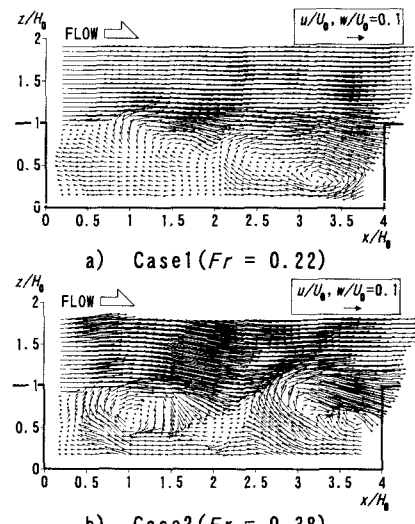


図-4 瞬間流速ベクトル（実験 B）

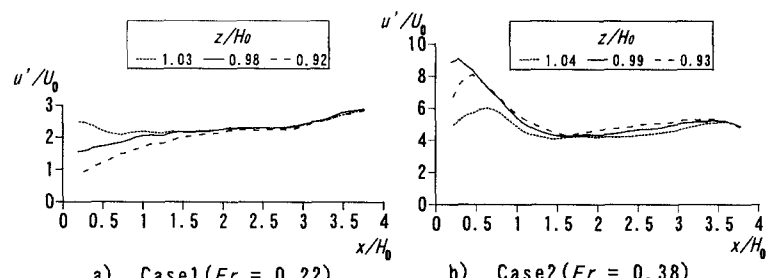


図-5 x 方向乱れ強度の水平分布（実験 B）